
WANGCHANLION AND WANGCHANX MRC EVAL

Wannaphong Phatthiyaphaibun^{†*}, Surapon Nonesung^{†*}, Patomporn Payoungkhamdee[†], Peerat Limkonchotiwat[†],
Can Udomcharoenchaikit[†], Jitkapat Sawatphol[†], Chompakorn Chaksangchaichot[§],
Ekapol Chuangsuwanich[§], Sarana Nutanong[†]

[†]School of Information Science and Technology, VISTEC, Thailand

[§]Department of Computer Engineering, Faculty of Engineering, Chulalongkorn University, Thailand

ABSTRACT

This technical report describes the development of WangchanLion, an instruction fine-tuned model focusing on Machine Reading Comprehension (MRC) in the Thai language. Our model is based on SEA-LION and a collection of instruction following datasets. To promote open research and reproducibility, we publicly release all training data, code, and the final model weights under the Apache-2 license. To assess the contextual understanding capability, we conducted extensive experimental studies using two Thai MRC datasets, XQuAD and Iapp_wiki_qa_squad. Experimental results demonstrate the model’s ability to comprehend the context and produce an answer faithful to the reference one in 0-shot and 1-shot settings. In addition, our evaluation goes beyond the traditional MRC. We propose a new evaluation scheme assessing the answer’s correctness, helpfulness, conciseness, and contextuality. Our code is available publicly at <https://github.com/vistec-AI/WangchanLion>.

Keywords Thai Large Language Model · MRC Eval

1 Introduction

Large Language Models (LLMs) have gained significant attention in the field of artificial intelligence in recent years due to their ability to generate human-like text and assist humans in various tasks. The applications of LLMs are vast and extend beyond just language generation, including language translation, question answering, and speech recognition. With the advent of advanced LLMs such as GPT-4 and ChatGPT, there has been an increasing interest in improving the capabilities of these models.

In addition to the proprietary API services, we see a strong interest in open-source research and development. For example, LLaMA 2 [1] is a pretrained generative text model from Meta. Mistral [2] is a pretrained generative text model offered by Mistral AI. PolyLM [3] stands out as an open-source multilingual LLM developed by DAMO Academy, Alibaba Group. Additionally, SEA-LION[4] stands as a pretrained generative text model specific to Southeast Asia languages, developed by AI Singapore. These open-source LLMs provide researchers and developers with greater flexibility to adjust the model’s behavior through fine-tuning with their algorithms and datasets. In addition, there are models that support the Thai language but are not open-source that we consider to have good performance, such as SeaLLM (multilingual LLM for Southeast Asian) [5] and Typhoon-instruct (EN-TH instruction model by SCB10X) [6], which we will use the evaluation results to compare.

*Equal contribution: Wannaphong is the main evaluation contribution, Surapon is the main model contribution.
corresponding author: {wannaphong.p_s21,surapon.n}@vistec.ac.th

While these models support multiple languages, the models’ capability on medium-to-low-resource languages like Thai and many other Southeast Asian languages is still greatly overlooked. One issue that hinders the adoption of open-source LLMs in such languages is the ability to transfer knowledge from rich-resource languages due to the limited vocabulary size. To illustrate, LLaMA2’s training dataset comprises approximately 2.0 trillion tokens, with over 89% of them being in English. Vocabulary tokens in LLaMA2 are subwords rather than full words, as the LLaMA2 tokenizer employs Byte-Pair Encoding (BPE). Consequently, tokens in LLaMA2 are not inherently tied to a specific language. While the LLaMA2 tokenizer addresses unknown UTF-8 characters by converting them into bytes, this method significantly increases sequence length and hinders the speed of encoding and decoding Thai texts. Consequently, it presents difficulties for byte tokens and transformer encoders in adequately capturing the semantic nuances of Thai characters. This allocation disparity necessitates additional vocab expansion, increasing the cost of adopting pretrained LLMs to low-to-medium resource languages.

Another important issue is the data transparency. Although these open-source releases include the model’s parameters and source code, some of the datasets used in training may not be clearly described or even inaccessible in some cases. This lack of transparency negatively affects the reproducibility of results and can cause unintentional data leakage during evaluation [7].

To address the gaps in knowledge transferability and lack of data transparency, we introduce *WangchanLion*, a Thai instruction-following model based on SEA-LION. Our WangchanLion is based on SEA-LION, a pretrained generative text model specific to Southeast Asia languages developed by AI Singapore. Our reasons for choosing SEA-LION as our base model are as follows. First, the Thai vocab size of SEA-LION is 10,652 tokens, eliminating the need for vocab expansion when compared to LLaMA2. Second, SEA-LION was pretrained on well-documented, open-source, publicly accessible datasets. WangchanLion continues the same spirit of data transparency initiated by SEA-LION, ensuring that our results are reproducible from scratch.

Moreover, we perform experimental studies to compare WangchanLion with existing Thai-supporting instruction models. We chose to study machine reading comprehension (MRC) task since it is one of the most important components in question-answering applications. We have found that WangchanLion outperforms two previous models with the same number of parameters in XQuAD [8] and i_app_wiki_qa_squad benchmarks.

However, we have noticed some limitations of traditional MRC evaluation. To elaborate, measures like exact match accuracy and F1 score rely on token-level matching between predicted answer and reference answer, which can cause the following issues. First, the metrics unintentionally reward models that produce short answers. Second, answers that are semantically equivalent to reference answers but with different words are undesirably penalized. These properties can conflict with the objectives of using large language models for question answering in a conversational assistant manner, which we argue are correctness, helpfulness, conciseness, and contextuality.

To address the limitations of the current evaluation, we propose WangchanX-MRC-Eval, a human evaluation scheme for MRC. We found that WangchanLion tends to produce shorter answers, which results in less irrelevant and out-of-context information, but also provides less additional helpful contexts. These results help provide insights into how to further improve our LLMs for MRC in future works. Furthermore, since human evaluation can cost a large amount of time and money, we also demonstrated using LLM to automate the evaluation process and improve the scalability of experiments.

Our contributions can be summarized as follows.

1. We developed *WangchanLion*, a Thai instruction-following language model that demonstrates an improved MRC performance over previous Thai-supported instruction models such as SeaLLMs and OpenThaiGPT.
2. We propose *WangchanX MRC Eval*, an automatic evaluation scheme in a human evaluation manner. This addresses the limitations of traditional MRC regarding the token-level matching between predicted answers and reference answers.
3. We publicly release the codes for WangchanX MRC Eval and pre-trained model weights of WangchanLion.

2 Instruction Tuning

2.1 Data

To obtain WangchanLion, we perform instruction tuning using English and Thai datasets of 48,084,781 and 84,441,163 tokens, respectively. The English instruction data consists of around 500,000 instruction pairs coming from the following sources.

- unified-chip2, infld-bpedia, OpenAI Summarize TL;DR, and HC3 human from OIG-small-chip2, an Open Instruction Generalist dataset organized by LAION-AI [9].
- The entire collection of DataBricks Dolly, an instruction-following dataset from Databricks employees, including brainstorming, classification, closed QA, generation, information extraction, open QA, and summarization [10].
- Dolphin, a FLANv2 dataset augmented with GPT-4 completions [11].
- Open-Platypus, an LLM logical reasoning dataset comprising PRM800K, openbookQA, SciBench, etc. We filter out Non-commercial datasets such as ReClor and ScienceQA [12].

Our Thai datasets consist of a small portion of Thai instruction data.

- iapp_wiki_qa_squad, an extractive question-answering dataset consisting of context, question and answer annotations from Thai Wikipedia articles [13].
- Thaisum, a Thai text summarization dataset obtained from several online news websites [14].
- XL-Sum, a dataset for abstractive summarization of professionally annotated article-summary pairs from BBC. The dataset covers 44 languages, including Thai [15].
- Han instruct v1.0 is an instruction following dataset organized by PyThaiNLP [16].

For English-Thai cross-lingual transfer, we used two cross-lingual sources.

- xP3x (Crosslingual Public Pool of Prompts eXtended), a collection of prompts & datasets across 277 languages and 16 NLP tasks, including Thai. We use only Thai [17].
- Scb_mt_enth_2020, an English-Thai Parallel dataset for machine translation [18]. We applied the MT dataset for improving the cross-lingual capability as demonstrated in previous LLM works [19, 20, 21].

2.2 Parameter-Efficient Finetuning (PEFT)

Pre-trained generative models have the ability to predict the next token but still struggle to follow human instructions [22]. To address this issue, we employ a strategy known as Parameter-Efficient Finetuning (PEFT). PEFT utilizes sets of (Instruction, Input, Output) format tuples, a straightforward format prevalent in numerous NLP datasets. Following supervised fine-tuning, the model gains the ability to understand and follow human instructions effectively, as demonstrated by various instruction-tuned Language Models (LLMs) like InstructGPT [22] and Alpaca [23].

To enhance computational efficiency, we pack multiple sequences of training examples into a single sequence [24]. This implies that a batch can encompass one or more training examples, with each sample separated by an end-of-sequence (eos) token. We utilize parameter-efficient fine-tuning with QLoRa.[25]. The hyperparameters used are listed in the table 1.

3 Machine Reading Comprehension (MRC) Evaluation

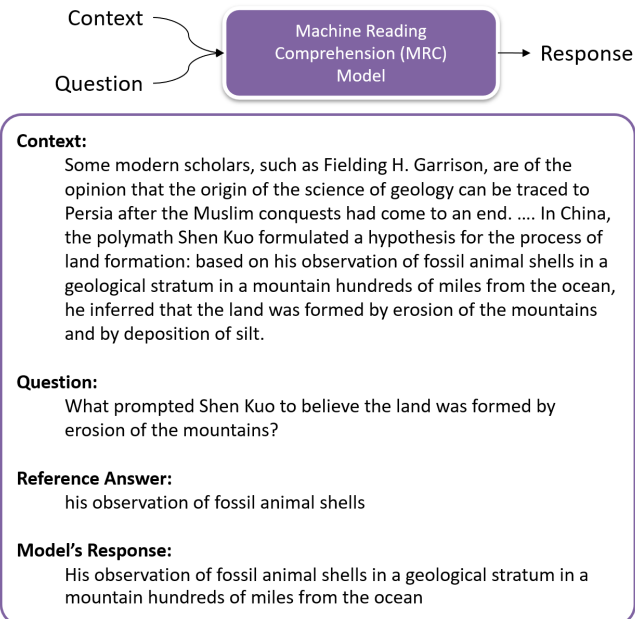
We evaluate the model from the final training checkpoint. We focus our evaluation on machine reading comprehension (MRC) since it is vital in a question-answering solution like retrieval-augmented generation (RAG) [26]. As shown in

| Hyper-Parameter | Value |
|--------------------------|---------------------------------|
| QLoRa Rank | 512 |
| QLoRa Alpha | 512 |
| QLoRa Dropout | 0.05 |
| QLoRa Target Modules | down_proj,out_proj,up_proj,Wqkv |
| Epochs | 4 |
| Learning Rate | 3e-4 |
| Batch Size | 2 |
| Optimizer | paged-adamw-32bit |
| Floating Point Precision | bfloat16 |

Table 1: Hyperparameter settings used for fine-tuning WangchanLion.

Figure 1, each MRC evaluation consists of four components: context, question, reference answer, and response from the model being assessed. Conventionally, an assessment is conducted by comparing the response with the reference answer to check the correctness. In this study, we propose three additional assessments to check the response’s helpfulness, conciseness, and contextuality.

Machine Reading Comprehension



Proposed Assessments

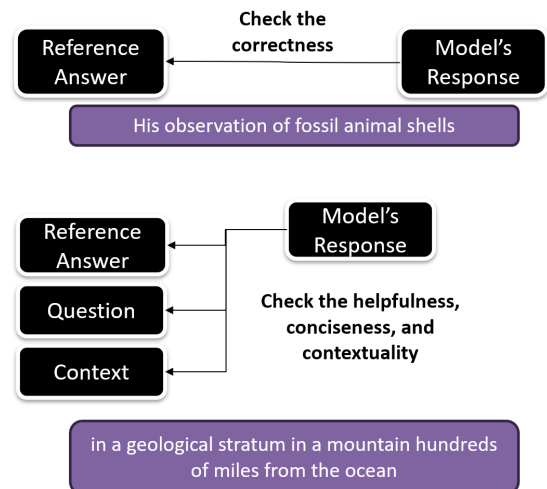


Figure 1: Proposed MRC Evaluation

The evaluation consists of three studies: traditional extractive QA evaluation, human evaluation, and LLM-automated evaluation.

Extractive QA Evaluation (Section 3.1): To understand the strengths and limitations of the traditional MRC evaluation approach, we include an extractive QA evaluation benchmark, XQuAD [8]. We compare the models’ responses against their respective reference answers using F1. A high score indicates the model’s capability to generate responses faithful to the reference answers.

Human Evaluation (Section 3.2): We propose a more holistic approach to assessing responses from generative models. Our evaluation method consists of four yes-no questions checking the correctness of the response and the qualities of additional information regarding its helpfulness, conciseness, and contextuality.

LLM Evaluation (Section 3.3). While human evaluation provides a trusted gold standard, it has drawbacks in terms of cost and scale. We derive a more economical means to assess the correctness, helpfulness, conciseness, and contextuality in an automated fashion. In particular, we leverage a large language model like GPT-3.5 and GPT-4 to assess the responses. We compare their results to those obtained from the human evaluation for quality control.

3.1 Traditional Extractive QA Evaluation

In this study, we use two datasets, XQuAD [8] and i_app_wiki_qa_squad, to assess three of 7B models: OpenThaiGPT, SeaLLM V2, and WangchanLion. As presented in Figure 1, each MRC evaluation is conducted by providing the context and question to the model and obtaining its response. This extractive evaluation only checks the correctness of the response by comparing it with the reference answer using F1. A higher F1 score indicates a higher degree of text similarity concerning the reference answer. Table 2 displays results in two settings: 0-shot and 1-shot. For 0-shot, the model received only the context and question to generate a response. For 1-shot, the context and question were accompanied by an example tuple (context, question, reference answer) as a few-shot in-context learning sample. We can see that WangchanLion obtained higher F1 scores than OpenThaiGPT and SeaLLM in both 0-shot and 1-shot settings for both datasets.

While extractive QA benchmarks are widely used in generative model evaluations due to their simplicity, it is important to understand their limitations. First, reference answers in an extractive QA benchmark such as XQuAD tend to be short. As a result, they cannot measure the ability of a generative model to provide contextually rich answers. Second, F1 can measure only text similarity. As a result, a semantically correct answer can be penalized for using words different from the respective reference answer. These two limitations necessitate a more holistic way to assess generative MRC responses.

| Model | XQuAD | | iapp_wiki_qa_squad | |
|--------------|----------------|----------------|--------------------|----------------|
| | 0-shot | 1-shot | 0-shot | 1-shot |
| OpenThaiGPT | 27.3487 | 34.3104 | 40.0614 | 46.6883 |
| SeaLLM V2 | 16.1104 | 25.7399 | 23.6425 | 28.9934 |
| WangchanLion | 45.8763 | 49.9145 | 58.9051 | 62.9776 |

Table 2: Experimental results on F1 score in 0-shot, 1-shot setting

3.2 Human Evaluation

We design a human evaluation scheme to overcome the limitations stated in the previous subsection. The main benefit of using human judgment is the flexibility to assess generative models according to human expectations. However, we also want to keep things as objective as possible so that the evaluation can remain fair and consistent across different annotators and models. This approach also facilitates the automation of the evaluation process, allowing for scalability while maintaining consistent alignment with human expectations.

Question Design. We design the assessment scheme through carefully structured yes-or-no questions to minimize subjective interpretation and ensure that the evaluation criteria are applied consistently across different annotators. The evaluation consists of four questions assessing the response’s correctness, helpfulness, conciseness, and contextuality.

- **Q1 - Correctness; The higher, the better [H]:** *The Answer is Correct concerning the Reference Answer. Do you agree or disagree?* Determine if the given answer accurately matches the reference answer provided. The correctness here means the answer must directly correspond to the reference answer, ensuring factual accuracy.

- **Q2 - Helpfulness; The higher, the better [H]:** *The Answer Includes Relevant, Additional Information from the Context. Do you agree or disagree?* Assess whether the answer provides extra details that are not only correct but also relevant and enhance the understanding of the topic as per the information given in the context.
- **Q3 - Irrelevancy; The lower, the better [L]:** *The Answer Includes Additional, Irrelevant Information from the Context. Do you agree or disagree?* Check if the answer contains extra details that, while related to the context, do not directly pertain to the question asked. This information is not necessary to answer the question and is considered a digression.
- **Q4 - Out-of-Context; The lower, the better [L]:** *The Answer Includes Information Not Found in the Context. Do you agree or disagree?* Evaluate if the answer includes any information that is not included in the context. This information, even if correct, is extraneous as it goes beyond the provided text and may indicate conjecture or assumption.

Human Response Collection. The human response annotation phase consists of three steps: training, screening, and deployment. In the training step, candidates were given 15 sample responses with expected assessments to familiarize themselves with the task. Seven candidates participated in this step. In the screening step, candidates were given 10 sample responses that they needed to answer. The training and screening samples were obtained from questions 1 to 100 from the XQuAD dataset. The responses is shown in Appendix B. In the deployment step, we selected candidates who scored more than 80% as our annotators. We obtained five annotators as a result. As shown in Figure 2, these five annotators were assigned to assess responses from three models, OpenThaiGPT, SeaLLMs, and WangchanLion, answering 100 Questions in the XQuAD Dataset, bringing the total number of responses to 300. *Each annotator answered all four evaluation questions for all 300 responses.*

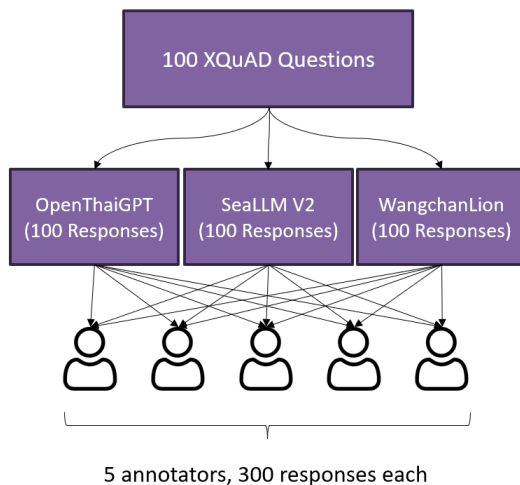


Figure 2: Human Response Collection Process

Post Processing. After the annotation phase, the next step is to aggregate the responses from different annotators to reach a consensus. We employ a majority voting system to determine the final annotation for each question. For each of the four questions, the annotators’ most common answer (either ‘agree’ or ‘disagree’) became the final judgment for that item.

Table 3 displays the final results from the human evaluation. We can see that despite the superior performance in terms of F1, WangchanLion is outperformed by SeaLLMs, judging based on Q1. In terms of additional information, SeaLLMs obtain higher Q2, Q3, and Q4 counts than WangchanLion. These results suggest that SeaLLMs’ lower F1 score is attributed to the tendency of the model to generate additional information instead of just giving a direct answer. A high Q2 count also shows that SeaLLMs can identify helpful additional information within the provided context, a highly desirable feature in generative QA. However, this also comes with a risk of including irrelevant and out-of-context

information, as shown in the results from Q3 and Q4. The F1 and human-eval results imply that WangchanLion tends to generate results more akin to XQuAD-style extractive answers than the other two competitors. SeaLLMs can produce additional information better aligned with human expectations than OpenThaiGPT regarding helpfulness and relevance while preserving contextuality.

| Model | Q1 Correctness [H] | Q2 Helpfulness [H] | Q3 Irrelevancy [L] | Q4 Out-of-context [L] | Num Tokens |
|--------------|--------------------------|--------------------------|--------------------------|-----------------------------|------------|
| OpenThaiGPT | 60 | 38 | 30 | 32 | 10.35 |
| SeaLLM V2 | 80 | 80 | 20 | 45 | 27.81 |
| WangchanLion | 67 | 19 | 23 | 5 | 5.50 |

Table 3: Human evaluation scores from the four questions assessing the correctness of the answer (Q1) and the quality of additional information in terms of helpfulness (Q2), irrelevancy (Q3), and out-of-context information (Q4). [H]: The higher, the better. [L]: The lower, the better. Each figure in the Q1-Q4 columns is the count of responses, aggregated from majority votes from five annotators. Num tokens denote the number of tokens obtained with PythaiNLP word tokenizer [27].

3.3 LLM-Automated Evaluation

To provide a more scalable means of evaluation, we derived a method to assess models’ responses in an automated fashion. We tested three options to automate our assessment: GPT-4 (gpt-4), GPT-3.5 (gpt-3.5-turbo), and Gemini (Gemini Pro). As shown in Table 4, we found GPT-4 to be the most aligned with human evaluation results presented in the previous subsection and, hence, chosen as our assessor. The prompt is shown in Appendix D.

| Assessor | Q1: Correctness | | | Q2: Helpfulness | | | Q3: Irrelevancy | | | Q4: Out-of-Context | | | Overall | | |
|----------|-----------------|--------------|--------------|-----------------|--------------|--------------|-----------------|--------------|--------------|--------------------|--------------|--------------|--------------|--------------|--------------|
| | P | R | F1 | P | R | F1 | P | R | F1 | P | R | F1 | P | R | F1 |
| Gemini | 95.90 | 90.34 | 93.03 | 89.80 | 32.12 | 47.31 | 55.56 | 13.70 | 21.98 | 61.11 | 26.83 | 37.29 | 88.26 | 52.71 | 66.00 |
| GPT-3.5 | 91.08 | 93.72 | 92.38 | 69.33 | 75.91 | 72.47 | 61.70 | 39.73 | 48.33 | 50.00 | 43.90 | 46.75 | 75.31 | 72.75 | 74.01 |
| GPT-4 | 98.98 | 94.20 | 96.53 | 94.29 | 48.18 | 63.77 | 55.17 | 65.75 | 60.00 | 75.41 | 56.10 | 64.34 | 85.54 | 71.14 | 77.68 |

Table 4: LLMs-automated evaluation compared with human evaluation. P R and F1 denote precision, recall, and F1 score computed by comparing the evaluation output of each LM compared to human responses.

Table 5 presents the results from the LLM-automated evaluation using GPT-4. For ease of comparison, the three LLMs used in previous comparisons are displayed in the first three rows. Similar to the human evaluation results, SeaLLM is the best performer in terms of Q1 and Q2 among the three models. For Q3 and Q4, the results also conform with the human evaluation. WangchanLion obtained lower counts than the other two models, showing that the model has a lower risk of including irrelevant and out-of-context information.

The table also includes additional models to provide a broader picture: OpenThaiGPT 13B, LLaMA 7B, LLaMA 13B, PolyLM-Chat 13B and Typhoon-instruc-0130 [6] which is a new Thai instruction-following API developed by SCB 10X. We can see that OpenThaiGPT 13B shows a slight improvement from OpenThaiGPT 7B. typhoon-instruct-0130 are the best performers regarding Q1 and SeaLLM V2 are second regarding Q1, but they also have a high score in terms of Irrelevancy (Q3) and Out-of-context (Q4).

3.4 Human Prefer Short or Long answers

Based on our evaluation criteria, we have established that users prefer longer answers over short ones. To ensure user satisfaction, we utilize Vicuna evaluation [28] in 50 questions by submitting our evaluation to 10 humans. We rely on

| Model | Q1 Correctness [H] | Q2 Helpfulness [H] | Q3 Irrelevancy [L] | Q4 Out-of-context [L] | Num Tokens |
|-----------------------|--------------------------|--------------------------|--------------------------|-----------------------------|------------|
| OpenThaiGPT 7B | 58 | 14 | 29 | 28 | 10.35 |
| SeaLLM V2 | 75 | 46 | 32 | 30 | 27.81 |
| WangchanLion | 64 | 10 | 26 | 3 | 5.50 |
| OpenThaiGPT 13B | 59 | 26 | 37 | 34 | 17.08 |
| PolyLM-Chat 13B | 73 | 17 | 16 | 4 | 11.96 |
| Typhoon-instruct-0130 | 76 | 28 | 24 | 22 | 18.33 |

Table 5: GPT evaluation scores from the four questions assessing the correctness of the answer (Q1) and the quality of additional information in terms of helpfulness (Q2), irrelevancy (Q3), and out-of-context information (Q4). [H]: “The higher, the better. [L]: “The lower, the better. For the assessment cost using GPT-4, as of March 2024, assessing one model with 100 questions incurred approximately \$4.00. The assessment comprising seven models was completed with less than \$30.00 on the OpenAI API.

| | A | B | C | D | E |
|---|---|---------------------|--|---|-------------------|
| 1 | context | question | A | B | คำตอบไหนดีกว่ากัน |
| 2 | ในปี 1700 อูกอ โนต์ ชาวฝรั่งเศสอพยพจ ชาว อูกอ โนต์ ได้รับที่ดิน ในเมือง ไตแทนเมื่อพวกเขาไปถึง | มานานาคินทาวน์ | เมือง โพรชาตัน | | |
| 3 | เมื่อมีอายุได้ประมาณ 16 ปี เคนจูได้แต่ง เคนจินแต่งงานกับสตรีจีนเผ่าอะไรในขณะมีอายุประมาณ 16 ปี | เคนจูแต่งงานกับสตรี | องกีริต | | |
| 4 | วอร์ซอคือเมืองที่มี วัฒนธรรมหลากหลาย จากจำนวนผู้อยู่อาศัยในวอร์ซอในปี 1901 มีชาว โปแลนด์คนที่เปอ: ในวอร์ซอในปี 1901 | 2.80% | | | |
| 5 | | | | **Chloroplastidan หมายถึง สายพันธุ์ **คำอธิบายเพิ่มเติม:** * คลอโรพลาสต์เหล่านี้มีบรรพบุรุษมาจ * คำว่า "พลาสติด" ในบริบทนี้ หมายถึง * สายพันธุ์คลอโรพลาสต์หลักมี 3 สาย * สายพันธุ์คลอโรพลาสต์ glaucophyte * สายพันธุ์คลอโรพลาสต์สาหร่ายสีแดง * สายพันธุ์คลอโรพลาสต์สีเขียว (chlor * สายพันธุ์คลอโรพลาสต์สีเขียว เป็นส * พืชบกทั้งหมดมีคลอโรพลาสต์สายพันธุ์ | |
| 6 | คลอโรพลาสต์เหล่านี้ ซึ่งสามารถซ่อนหรือ chloroplastidan มีความหมายว่าอะไร? | สายพันธุ์คลอโรพลา | Chloroplastidan หมายถึง สายพันธุ์คลอ | | |
| 7 | การรุกรานแบกแดด, ซามาร์คันด์, เออร์เก ทายาผู้ใช้โดยของเจงกิส ข่านปล้นสะดมแบกแดด | ซูลากู ข่าน | ทายาผู้ใช้โดยของเจงกิส ข่านที่ปล้นสะดม | | |
| | แคลิฟอร์เนียได้ประกอบด้วยสภาพแวดล้อม นอกเหนือจากการใช้รถยนต์ มีอะไรที่แคลิฟอร์เนียได้ขึ้นชื่อเรื่องการใช้ เครื่องขยายพลังใน | นอกเหนือจากการใช้ | | | |

Figure 3: User interface of the human response collection.

XQuAD answers for quick answers, while for detailed and comprehensive responses, we use the text generated from the model. Our Data collection uses Google Sheets as shown in Figure 3 and asks humans: คำตอบไหนดีกว่ากัน (Which answer is better?). The answers are A ดีกว่า (A is better), B ดีกว่า (B is better), and ดี/แย่มาก (Tie).

After we got the result, 31 evaluations resulted in long answers, 12 in short answers, and 7 in a tie. We found humans prefer longer answers over short ones. The results show humans want long answers more than quick ones, and our evaluation criteria can evaluate the long answers to create the answer humans wish.

4 Conclusion and Future work

We release WangChanLion, an open-source Thai instruction following model focusing on Question Answering. We also proposed a new method for model evaluation by GPT4 in the MRC task. For evaluation, we want high Q1 and Q2 counts while keeping those of Q3 and Q4 low. This implies that our model should produce responses that are not only correct but also accompanied by additional information that satisfies the criterion of Q2. However, optimizing for

the Q2 count may come with the risk of extraneous information reflected in Q3 and Q4 count differentials between WangchanLion and the other two methods. The main challenge here is introducing more useful information while keeping extraneous information in check.

In our upcoming research, we plan to delve deeper into the exploration of PEFT and explore alternative alignment approaches like Direct Preference Optimization (DPO) [29]. Additionally, we aim to focus on selecting datasets of superior quality.

References

- [1] Hugo Touvron, Louis Martin, Kevin Stone, Peter Albert, Amjad Almahairi, Yasmine Babaei, Nikolay Bashlykov, Soumya Batra, Prajjwal Bhargava, Shruti Bhosale, Dan Bikel, Lukas Blecher, Cristian Canton Ferrer, Moya Chen, Guillem Cucurull, David Esiobu, Jude Fernandes, Jeremy Fu, Wenyin Fu, Brian Fuller, Cynthia Gao, Vedanuj Goswami, Naman Goyal, Anthony Hartshorn, Saghar Hosseini, Rui Hou, Hakan Inan, Marcin Kardas, Viktor Kerkez, Madian Khabsa, Isabel Kloumann, Artem Korenev, Punit Singh Koura, Marie-Anne Lachaux, Thibaut Lavril, Jenya Lee, Diana Liskovich, Yinghai Lu, Yuning Mao, Xavier Martinet, Todor Mihaylov, Pushkar Mishra, Igor Molybog, Yixin Nie, Andrew Poulton, Jeremy Reizenstein, Rashi Rungta, Kalyan Saladi, Alan Schelten, Ruan Silva, Eric Michael Smith, Ranjan Subramanian, Xiaoqing Ellen Tan, Binh Tang, Ross Taylor, Adina Williams, Jian Xiang Kuan, Puxin Xu, Zheng Yan, Iliyan Zarov, Yuchen Zhang, Angela Fan, Melanie Kambadur, Sharan Narang, Aurelien Rodriguez, Robert Stojnic, Sergey Edunov, and Thomas Scialom. Llama 2: Open foundation and fine-tuned chat models. 2023.
- [2] Albert Q. Jiang, Alexandre Sablayrolles, Arthur Mensch, Chris Bamford, Devendra Singh Chaplot, Diego de las Casas, Florian Bressand, Gianna Lengyel, Guillaume Lample, Lucile Saulnier, L elio Renard Lavaud, Marie-Anne Lachaux, Pierre Stock, Teven Le Scao, Thibaut Lavril, Thomas Wang, Timoth e Lacroix, and William El Sayed. Mistral 7b. 2023.
- [3] Xiangpeng Wei, Haoran Wei, Huan Lin, Tianhao Li, Pei Zhang, Xingzhang Ren, Mei Li, Yu Wan, Zhiwei Cao, Binbin Xie, Tianxiang Hu, Shangjie Li, Binyuan Hui, Bowen Yu, Dayiheng Liu, Baosong Yang, Fei Huang, and Jun Xie. Polylm: An open source polyglot large language model. 2023.
- [4] AI Singapore. Sea-lion (southeast asian languages in one network): A family of large language models for southeast asia. <https://github.com/aisingapore/sealion>, 2023.
- [5] Xuan-Phi Nguyen, Wenxuan Zhang, Xin Li, Mahani Aljunied, Qingyu Tan, Liying Cheng, Guanzheng Chen, Yue Deng, Sen Yang, Chaoqun Liu, Hang Zhang, and Lidong Bing. Seallms – large language models for southeast asia. 2023.
- [6] Kunat Pipatanakul, Phatrasek Jirabovonvisut, Potsawee Manakul, Sittipong Sripaisarnmongkol, Ruangsak Patomwong, Pathomporn Chokchainant, and Kasima Tharnpichai. Typhoon: Thai large language models. 2023.
- [7] Kun Zhou, Yutao Zhu, Zhipeng Chen, Wentong Chen, Wayne Xin Zhao, Xu Chen, Yankai Lin, Ji-Rong Wen, and Jiawei Han. Don’t make your llm an evaluation benchmark cheater. *arXiv preprint arXiv:2311.01964*, 2023.
- [8] Mikel Artetxe, Sebastian Ruder, and Dani Yogatama. On the cross-lingual transferability of monolingual representations. In Dan Jurafsky, Joyce Chai, Natalie Schluter, and Joel Tetreault, editors, *Proceedings of the 58th Annual Meeting of the Association for Computational Linguistics*, pages 4623–4637, Online, July 2020. Association for Computational Linguistics.
- [9] Open instruction generalist dataset, 2023.
- [10] Mike Conover, Matt Hayes, Ankit Mathur, Jianwei Xie, Jun Wan, Sam Shah, Ali Ghodsi, Patrick Wendell, Matei Zaharia, and Reynold Xin. Free dolly: Introducing the world’s first truly open instruction-tuned llm, 2023.
- [11] Dolphin, 2023.
- [12] Ariel N. Lee, Cole J. Hunter, and Nataniel Ruiz. Platypus: Quick, cheap, and powerful refinement of llms. 2023.

- [13] Kobkrit Viriyayudhakorn and Charin Polpanumas. iapp_wiki_qa_squad, February 2021.
- [14] Nakhun Chumpolsathien. Using knowledge distillation from keyword extraction to improve the informativeness of neural cross-lingual summarization. Master’s thesis, Beijing Institute of Technology, 2020.
- [15] Tahmid Hasan, Abhik Bhattacharjee, Md. Saiful Islam, Kazi Mubasshir, Yuan-Fang Li, Yong-Bin Kang, M. Sohel Rahman, and Rifat Shahriyar. XL-sum: Large-scale multilingual abstractive summarization for 44 languages. In *Findings of the Association for Computational Linguistics: ACL-IJCNLP 2021*, pages 4693–4703, Online, August 2021. Association for Computational Linguistics.
- [16] Wannaphong Phatthiyaphaibun. han-instruct-dataset-v1.0, 2024.
- [17] Niklas Muennighoff, Thomas Wang, Lintang Sutawika, Adam Roberts, Stella Biderman, Teven Le Scao, M Saiful Bari, Sheng Shen, Zheng-Xin Yong, Hailey Schoelkopf, et al. Crosslingual generalization through multitask finetuning. *arXiv preprint arXiv:2211.01786*, 2022.
- [18] Lalita Lowphansirikul, Charin Polpanumas, Attapol T Rutherford, and Sarana Nutanong. scb-mt-en-th-2020: A large english-thai parallel corpus. *arXiv preprint arXiv:2007.03541*, 2020.
- [19] Wenhao Zhu, Yunzhe Lv, Qingxiu Dong, Fei Yuan, Jingjing Xu, Shujian Huang, Lingpeng Kong, Jiajun Chen, and Lei Li. Extrapolating large language models to non-english by aligning languages. 2023.
- [20] Samuel Cahyawijaya, Holy Lovenia, Tiezheng Yu, Willy Chung, and Pascale Fung. InstructAlign: High-and-low resource language alignment via continual crosslingual instruction tuning. In Derry Wijaya, Alham Fikri Aji, Clara Vania, Genta Indra Winata, and Ayu Purwarianti, editors, *Proceedings of the First Workshop in South East Asian Language Processing*, pages 55–78, Nusa Dua, Bali, Indonesia, November 2023. Association for Computational Linguistics.
- [21] Leonardo Ranaldi, Giulia Pucci, and Andre Freitas. Empowering cross-lingual abilities of instruction-tuned large language models by translation-following demonstrations. 2023.
- [22] Long Ouyang, Jeff Wu, Xu Jiang, Diogo Almeida, Carroll L. Wainwright, Pamela Mishkin, Chong Zhang, Sandhini Agarwal, Katarina Slama, Alex Ray, John Schulman, Jacob Hilton, Fraser Kelton, Luke Miller, Maddie Simens, Amanda Askell, Peter Welinder, Paul Christiano, Jan Leike, and Ryan Lowe. Training language models to follow instructions with human feedback. 2022.
- [23] Rohan Taori, Ishaan Gulrajani, Tianyi Zhang, Yann Dubois, Xuechen Li, Carlos Guestrin, Percy Liang, and Tatsunori B. Hashimoto. Stanford alpaca: An instruction-following llama model. https://github.com/tatsu-lab/stanford_alpaca, 2023.
- [24] Colin Raffel, Noam Shazeer, Adam Roberts, Katherine Lee, Sharan Narang, Michael Matena, Yanqi Zhou, Wei Li, and Peter J. Liu. Exploring the limits of transfer learning with a unified text-to-text transformer. 2023.
- [25] Tim Dettmers, Artidoro Pagnoni, Ari Holtzman, and Luke Zettlemoyer. Qlora: Efficient finetuning of quantized llms. 2023.
- [26] Yunfan Gao, Yun Xiong, Xinyu Gao, Kangxiang Jia, Jinliu Pan, Yuxi Bi, Yi Dai, Jiawei Sun, Qianyu Guo, Meng Wang, and Haofen Wang. Retrieval-augmented generation for large language models: A survey. 2024.
- [27] Wannaphong Phatthiyaphaibun, Korakot Chaovavanich, Charin Polpanumas, Arthit Suriyawongkul, Lalita Lowphansirikul, Pattarawat Chormai, Peerat Limkonchotiwat, Thanathip Suntornpit, and Can Udomcharoenchaikit. PyThaiNLP: Thai natural language processing in python. In Liling Tan, Dmitrijs Milajevs, Geeticka Chauhan, Jeremy Gwinnup, and Elijah Rippeth, editors, *Proceedings of the 3rd Workshop for Natural Language Processing Open Source Software (NLP-OSS 2023)*, pages 25–36, Singapore, December 2023. Association for Computational Linguistics.
- [28] Lianmin Zheng, Wei-Lin Chiang, Ying Sheng, Siyuan Zhuang, Zhanghao Wu, Yonghao Zhuang, Zi Lin, Zhuohan Li, Dacheng Li, Eric Xing, Hao Zhang, Joseph E. Gonzalez, and Ion Stoica. Judging LLM-as-a-judge with MT-bench and chatbot arena. In *Thirty-seventh Conference on Neural Information Processing Systems Datasets and Benchmarks Track*, 2023.

- [29] Rafael Rafailov, Archit Sharma, Eric Mitchell, Christopher D Manning, Stefano Ermon, and Chelsea Finn. Direct preference optimization: Your language model is secretly a reward model. In *Thirty-seventh Conference on Neural Information Processing Systems*, 2023.
- [30] Cheng Li, Jindong Wang, Yixuan Zhang, Kaijie Zhu, Wenxin Hou, Jianxun Lian, Fang Luo, Qiang Yang, and Xing Xie. Large language models understand and can be enhanced by emotional stimuli. 2023.

A Model prompt for XQuAD

A.1 WangchanLion

You are a helpful assistant. Read the context and answer the question.

พื้หนหลัง:

{Context}

คำถาม:

{question}

ตอบ:

A.2 OpenThaiGPT

Below is an instruction that describes a task. Write a response that appropriately completes the request. Read the context and answer the question.

Instruction:

Context (บริบท): {Context}

Question (คำถาม): {Question}

Response:

A.3 SeaLLM

<lim_start>system You are a helpful assistant. Read the context and answer the question.</s><lim_start>user

Context (บริบท):

{Context}

Question (คำถาม):

{Question}</s><lim_start>user

A.4 PolyLM

You are a helpful assistant. Read the context and answer the question.

<user!>

Context: {Context}

Question: {Question}

<lassistant!>

A.5 Typhoon-instruct-0130

Below is an instruction that describes a task. Write a response that appropriately completes the request.

Instruction:

Read the context and answer the question

Context:

{Context}

Question:

{Question}

B Question for expected assessments

B.1 Q15

In the training step, we were give some example from 15 sample responses with expected assessments to familiarize themselves with the task. All 15 sample responses for training step can see at https://github.com/vistec-AI/WangchanLion/tree/main/mrc_eval/human_data_collection.

Examples:

1. ข้อความบริบท: หลังช่วงยุคปี 1940 สไตลท์กอธิดในวิทยาลัยเริ่มเปิดทางให้กับสไตลท์ทันสมัย ในปี 1955 Eero Saarinen ได้ทำสัญญาเพื่อทำแผนแม่บทฉบับที่สอง ซึ่งนำไปสู่การสร้างอาคารทั้งทางเหนือและใต้ของ Midway ประกอบด้วย Laird Bell Law Quadrangle (อาคารที่ถูกออกแบบโดย Saarinen) ชุดอาคารศิลปะ อาคารที่ถูกออกแบบโดย ลูทวิช มีส ฟัน แดร์ โรเออ ให้กับ โรงเรียนบริหารงานสังคมสงเคราะห์ ของมหาวิทยาลัย อาคารที่ซึ่งกลายเป็นบ้านของ โรงเรียนนโยบายสาธารณะแฮร์ริส โดยเอ็ดเวิร์ด ดอเรลล์ สโตน และห้องสมุด Regenstein อาคารที่ใหญ่ที่สุดในมหาวิทยาลัย สิ่งก่อสร้างบูรทอลล์สตัดออกแบบโดยวอลเตอร์ เน็ตซ์แห่งบริษัท Skidmore, Owings & Merrill แผนแม่บทอื่น ๆ ถูกออกแบบในปี 1999 และอัปเดตในปี 2004 สร้างศูนย์กรีธา Gerald Ratner (2003) Max Palevsky Residential Commons (2001) หอพักนักศึกษาทิศใต้และโรงอาหารส่วนกลาง (2009) โรงพยาบาลเด็กแห่งใหม่ และสิ่งก่อสร้าง, ส่วนขยาย และการบูรณะอื่น ๆ ในปี 2011 มหาวิทยาลัยสร้างห้องสมุดทรงโดมแก้ว Joe and Rika Mansueto ซึ่งมอบห้องอ่านหนังสือขนาดใหญ่สำหรับห้องสมุดมหาวิทยาลัยและป้องกันความจำเป็นในการฝากหนังสือนอกมหาวิทยาลัย

คำถาม: โรงเรียนนโยบายสาธารณะใดที่ได้อยู่ในอาคารที่ ลูทวิช มีส ฟัน แดร์ โรเออ ออกแบบ?

คำตอบอ้างอิง: โรงเรียนนโยบายสาธารณะแฮร์ริส

คำตอบจากโมเดล: แฮร์ริส

Q1: ไม่เห็นด้วย

Q2: ไม่เห็นด้วย

Q3: ไม่เห็นด้วย

Q4: ไม่เห็นด้วย

2. ข้อความบริบท: กวีวิชาการสมัยใหม่บางคน เช่น วิลเลียม เฮอร์เชล การ์ริสัน เชื่อว่าเราสามารถสาวต้นกำเนิดของศาสตร์แห่งธรณีวิทยากลับไปถึงดินแดน เปอร์เซีย หลังจากสิ้นสุดการพิชิตดินแดนโดยมุสลิม อาบู อัล-เรฮัน อัลบิรูนี (973–1048 สาทลศักราช) คือหนึ่งในนักธรณีวิทยาชาวเปอร์เซียคนแรกๆ ผลงานของเขารวมถึงการเขียนถึงธรณีวิทยาของอินเดีย โดยสันนิษฐานว่าครั้งหนึ่งอนุทวีปอินเดียเคยเป็นทะเลมาก่อน อิบิน ซีน่า (อาวิเชนน่า, ค.ศ. 981–1037) นักวิชาการชาวเปอร์เซีย นำข้อมูลจากวรรณกรรมเชิงวิทยาศาสตร์ของกรีกและอินเดียซึ่งไม่โดนทำลายโดยการพิชิตดินแดนโดยมุสลิมมานำเสนอคำอธิบายโดยละเอียดเกี่ยวกับการก่อตัวของภูเขา ต้นกำเนิดของแผ่นดินไหว และหัวข้ออื่นๆ ซึ่งใกล้เคียงกับธรณีวิทยาสมัยใหม่ ซึ่งเป็นรากฐานที่สำคัญของการพัฒนาทางวิทยาศาสตร์ในภายหลัง ในประเทศจีน พหูสูตคนหนึ่งชื่อว่า เซิน ไค้ว (ค.ศ.1031–1095) ได้ตั้งสมมติฐานเกี่ยวกับการก่อ-

ตัวของพื้นดิน โดยอ้างอิงจาก การสังเกตฟอสซิลของเปลือกและกระดูกสัตว์ ต่างๆ ในชั้นดินบนภูเขาซึ่งอยู่ห่างจากมหาสมุทรหลายร้อยไมล์ เขาอนุมานว่าพื้นดินเกิดจากการกักกร่อนของภูเขาและการสะสมของตะกอน

คำถาม: อะไรทำให้ เซิน ไค้ว เชื่อว่าพื้นดินเกิดจากการกักกร่อนของภูเขา

คำตอบอ้างอิง: การสังเกตฟอสซิลของเปลือกและกระดูกสัตว์ ต่างๆ

คำตอบจากโมเดล: เซิน ไค้ว เชื่อว่าพื้นดินเกิดจากการกักกร่อนของภูเขาและสะสมของตะกอน เขาเชื่อว่าเขาทำข้อวัขึ้นบนแผ่นเปลือกโลกและค่อยๆ กักกร่อนไปตามกาลเวลา เมื่อแผ่นเปลือกโลกเคลื่อนตัวและภูเขาไฟระเบิดขึ้น แผ่นดินก็เกิดขึ้นจากการสะสมของตะกอน

Q1: ไม่เห็นด้วย

Q2: ไม่เห็นด้วย

Q3: เห็นด้วย

Q4: เห็นด้วย

B.2 Q10

In the screening step, candidates were given 10 sample responses that they needed to answer. This section give some example. All 10 sample responses for screening step can see at https://github.com/vistec-AI/WangchanLion/tree/main/mrc_eval/human_data_collection.

Examples:

1. ข้อความบริบท: ในทางตรงกันข้าม ระหว่างห้วงเวลาที่ตื่นอยู่เซลล์แสดงผลที่แตกต่างกัน อย่างเช่น เซลล์นักฆ่าตามธรรมชาติด้วยพิษ และ CTL (ไซโตทอกสิก ที ลิมโฟไซต์) จะมีจำนวนพุ่งสูงขึ้นเพื่อกระตุ้นการตอบสนองที่มีประสิทธิภาพต่อจุลชีพก่อโรคใด ๆ ที่บุกรุกเข้ามา เช่นเดียวกัน ในระหว่างห้วงเวลาที่ตื่นอยู่ โมเลกุลด้านการอักเสบ อย่างเช่น คอร์ติซอล และแคทีโคลามีนส์ จะพุ่งสูง มีอยู่สองทฤษฎีที่อธิบายว่าเพราะเหตุใดสภาวะการอักเสบจึงได้รับการรักษาไว้สำหรับห้วงเวลาหลับ ทฤษฎีแรกคือ การอักเสบจะก่อให้เกิดความบกพร่องทางสติปัญญาและร่างกายอย่างรุนแรงหากเกิดขึ้นในระหว่างเวลาตื่น ทฤษฎีที่สองคือ การอักเสบอาจเกิดขึ้นในระหว่างการนอนหลับเนื่องจากในเวลานั้นมี เมลาโทนิน การอักเสบก่อให้เกิดภาวะเครียดที่เกิดจากออกซิเดชันเป็นอย่างมาก และการมีเมลาโทนินในระหว่างหลับสามารถต่อต้าน การผลิตอนุมูลอิสระ ได้เป็นอย่างดี

คำถาม: การอักเสบเกิดขึ้นในระหว่างเวลานอนหลับเนื่องจากการมีโมเลกุลอะไร

คำตอบอ้างอิง: เมลาโทนิน

คำตอบจากโมเดล: การอักเสบเกิดขึ้นในระหว่างเวลานอนหลับเนื่องจากการมีโมเลกุลที่เรียกว่าเมลาโทนิน (Melatonin) ซึ่งเป็นสารสื่อประสาทที่เกิดขึ้นในสมองและร่างกายของมนุษย์ในช่วงเวลานอนหลับ

Q1: เห็นด้วย/ไม่เห็นด้วย

Q2: เห็นด้วย/ไม่เห็นด้วย

Q3: เห็นด้วย/ไม่เห็นด้วย

Q4: เห็นด้วย/ไม่เห็นด้วย

2. ข้อความบริบท: การศึกษาวิจัยยังพบด้วยว่ามีเชื้อโรคที่เกี่ยวข้องแต่ไม่เป็นที่รู้จักอีกสองชนิดซึ่งเป็นเคลด (สายพันธุ์ย่อย) ของจีโนมวาย.เพสทิส ที่มีความเกี่ยวข้องกับการเสียชีวิตของผู้คนจำนวนมากในยุคคลง มีการค้นพบว่าเชื้อโรคเหล่านี้ (ซึ่งเชื่อกันว่าสูญพันธุ์ไปแล้ว) เป็นบรรพบุรุษของสายพันธุ์วาย.เพสทิสในสมัยใหม่ คือ วาย.พี. โอเรียนทาลิส และ วาย.พี. เมดิอวัลิส และเชื่อกันว่า กวาโรคอาจเข้าสู่ทวีปยุโรปสองระลอก การสำรวจหลุมศพของผู้เสียชีวิตจากกาฬโรคในฝรั่งเศสและอังกฤษแสดงให้เห็นว่าเชื้อกาฬโรคแบบแรกเข้าสู่ยุโรปผ่านทางท่าเรือมาร์กเซย์ในราวเดือนพฤศจิกายน ปี 1347 และระบาดไปทั่วยุโรปภายในสองปีต่อมา และในที่สุดก็ไปถึงอังกฤษในฤดูใบไม้ผลิปี 1349 ซึ่งที่อังกฤษนี้โรคได้แพร่กระจายเป็นโรคระบาดสามโรคด้วยกัน การสำรวจหลุมศพของผู้เสียชีวิตจากกาฬโรคที่เมืองดัตช์แห่งแบร์เกน อป ซุม แสดงให้เห็นไนโทปีของวาย.เพสทิสซึ่งเป็นสาเหตุของโรคระบาดซึ่งแพร่กระจายไปทั่วประเทศเนเธอร์แลนด์ ตั้งแต่ปี 1350 นั้นต่างกับที่-

ค้นพบในอังกฤษและฝรั่งเศส ซึ่งแสดงให้เห็นว่าการระบาดที่แบร์เคน อป ชุม (และเป็นไปได้ว่าในบริเวณอื่นๆ ของเนเธอร์แลนด์ตอนใต้) ไม่ได้มาจากการระบาดในอังกฤษหรือฝรั่งเศสในปี 1349 โดยตรง และยังชี้ให้เห็นด้วยว่าโรคระบาดระลอกที่สองต่างกับที่เกิดขึ้นในอังกฤษและฝรั่งเศส โดยอาจเข้ามาสู่เนเธอร์แลนด์ผ่านทางนอร์เวย์ เมืองในแถบฮันเซียติก หรือบริเวณอื่น

คำถาม: วาย.เพสที่ระบาดไปถึงอังกฤษเมื่อใด

คำตอบอ้างอิง: 1349

คำตอบจากโมเดล: ถูกไปไม่ผลิ 1349

Q1: เห็นด้วย/ไม่เห็นด้วย

Q2: เห็นด้วย/ไม่เห็นด้วย

Q3: เห็นด้วย/ไม่เห็นด้วย

Q4: เห็นด้วย/ไม่เห็นด้วย

C Config

C.1 GPT-4

Base openai client v0.28.

- temperature: 0.2
- max_tokens: 1024

C.2 GPT-3.5

Base openai client v0.28.

- temperature: 0.2
- max_tokens: 1024

C.3 Gemini-Pro

- temperature: 0.9
- top_p: 1
- top_k: 1
- max_tokens: 2048

D Evaluation Prompt

We use some prompts like human questions with the fill "This is very important to my career" [30] that boost our performance.

D.1 GPT-4/GPT-3.5 Evaluation Prompt

system_prompt

Please evaluate these answers based on their accuracy and relevance to the provided passage that based on the Criteria:

1. The Answer is Correct concerning the Reference Answer. Do you agree or disagree?

Determine if the given answer accurately matches the reference answer provided. The correctness here means the answer must directly correspond to the reference answer, ensuring factual accuracy.

2. The Answer Includes Relevant, Additional Information from the Context. Do you agree or disagree?

Assess whether the answer provides extra details that are not only correct but also relevant and enhance the understanding of the topic as per the information given in the context.

3. The Answer Includes Additional, Irrelevant Information from the Context. Do you agree or disagree?

Check if the answer contains extra details that, while related to the context, do not directly pertain to the question asked. This information is not necessary for answering the question and is considered a digression.

4. The Answer Includes Information Not Found in the Context. Do you agree or disagree?

Evaluate if the answer includes any information that is not included in the context. This information, even if correct, is extraneous as it goes beyond the provided text and may indicate conjecture or assumption.

This is very important to my career.

user_prompt

Passage: {context}

Question: {question}

Reference Answer: "{reference_answer}"

Prediction Answer: "{prediction_answer}"

D.2 Gemini-Pro Evaluation Prompt

prompt

Please evaluate these answers based on their accuracy and relevance to the provided passage that based on the Criteria:

1. The Answer is Correct concerning the Reference Answer. Do you agree or disagree?

Determine if the given answer accurately matches the reference answer provided. The correctness here means the answer must directly correspond to the reference answer, ensuring factual accuracy.

2. The Answer Includes Relevant, Additional Information from the Context. Do you agree or disagree?

Assess whether the answer provides extra details that are not only correct but also relevant and enhance the understanding of the topic as per the information given in the context.

3. The Answer Includes Additional, Irrelevant Information from the Context. Do you agree or disagree?

Check if the answer contains extra details that, while related to the context, do not directly pertain to the question asked. This information is not necessary for answering the question and is considered a digression.

4. The Answer Includes Information Not Found in the Context. Do you agree or disagree?

Evaluate if the answer includes any information that is not included in the context. This information, even if correct, is extraneous as it goes beyond the provided text and may indicate conjecture or assumption.

This is very important to my career.

Passage: {context}

Question: {question}

Reference Answer: "{reference_answer}"

Prediction Answer: "{prediction_answer}"